

## عوامل تأثیرگذار در ایجاد پیچ و میزان جذب انرژی اتصال خمشی براکت پیچ‌شده‌ی کایزر\*

فرهاد شهیدی امام جمعه<sup>(۱)</sup> فریبرز ناطقی الهی<sup>(۲)</sup> مهران سید رزاقی<sup>(۳)</sup> فرهود شهیدی امام جمعه<sup>(۴)</sup>

**چکیده** پس از زلزله‌ی ۱۹۹۴ نورثریج کالیفرنیا تعداد قابل ملاحظه‌ای از ساختمان‌های فولادی با اتصالات خمشی خسارت دیدند. بعد از این واقعه تحقیقات زیادی برای بهبود عملکرد لرزه‌ای اتصالات خمشی صورت گرفت. اتصال خمشی براکت پیچ‌شده‌ی کایزر، یکی از اتصالات مطرح برای قاب خمشی ویژه در آیین‌نامه‌ی AISC-358 است، که به‌طور اختصار KBB خوانده می‌شود. این اتصال به‌صورت ریخته‌گری تولید می‌گردد. در این تحقیق رفتار اتصال خمشی KBB تحت بارگذاری‌های چرخه‌ای استاندارد و نزدیک گسل مطرح شده در آیین‌نامه‌های ATC و FEMA مورد بررسی قرار گرفته است. نتایج نشان می‌دهد که این اتصال از عملکرد لرزه‌ای مناسبی برخوردار است ولی در تیرهای عمیق به‌علت سختی بالای براکت و ارتفاع زیاد آن، نیروی اهرمی زیادی در پیچ‌های ردیف بالای براکت تولید می‌گردد. این موضوع و همچنین استفاده از واشر انگشتی گوه‌ای سبب کاهش نیروی پیش‌تنیدگی پیچ‌های ردیف بالای براکت‌ها و ایجاد Pinch در نمودار هیستریزس آن شده است.

**واژه‌های کلیدی** بارگذاری چرخه‌ای استاندارد، بارگذاری چرخه‌ای نزدیک گسل، اتصال براکت پیچ‌شده‌ی کایزر (KBB), Pinch.

### Influential Factors in Pinch Effect and Energy Dissipation of the Kaiser Bolted Bracket Moment Connection

F.Shahidi

F.Nateghi Allahi

M.S.Razzaghi

F.Shahidi

**Abstract** In the aftermath of the 1994 Northridge, California, earthquake. A significant number of steel moment resisting structural systems were damaged. Many studies and researches have been conducted to improve the seismic performance of structures after the catastrophe. One of the proposed connections for special moment-resisting frames included AISC-358 is Kaiser bolted bracket moment connection, briefly named, KBB, this brackets produced as high steel cast. In this study, the seismic behavior of moment connection, KBB is examined under standard loading history and near-fault loading history according to ATC and FEMA codes. The results show that the connection has suitable seismic performance. But in beams with high depth due to the bracket rigidity, there is high lever force in top row bolts. Moreover use of Finger shims with variable thickness, reduce pre-tensioned force in bolts and increase pinch in hysteresis curve specimens.

**Key Words** Standard loading history, Near-Fault loading history, Kaiser bolted bracket connection (KBB), Pinch.

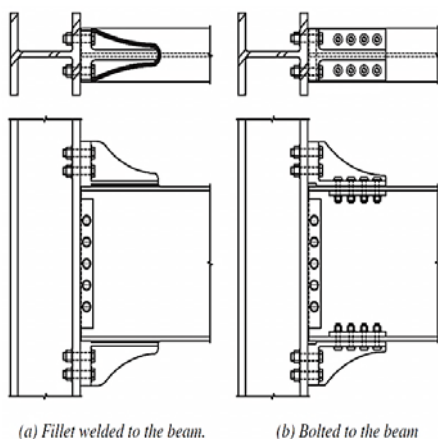
★ تاریخ دریافت مقاله ۹۱/۵/۲۸ و تاریخ پذیرش آن ۹۳/۵/۱۹ می‌باشد.

(۱) نویسنده‌ی مسئول، دانش آموخته‌ی کارشناسی ارشد سازه، دانشگاه آزاد اسلامی، واحد قزوین.

(۲) استاد، پژوهشگاه زلزله‌شناسی و مهندسی زلزله.

(۳) استادیار، دانشکده‌ی عمران و نقشه برداری، دانشگاه آزاد اسلامی، واحد قزوین.

(۴) دانش آموخته‌ی کارشناسی ارشد سازه، دانشگاه آزاد اسلامی، واحد تاکستان.



(a) Fillet welded to the beam. (b) Bolted to the beam

شکل ۱ شمایی از اتصال براکت پیچ‌شده‌ی کایزر [1]

### هدف و مراحل انجام تحقیق

هدف از این تحقیق، بررسی عملکرد لرزه‌ای این اتصال به‌خصوص در حوزه‌ی نزدیک گسل و هم‌چنین ارائه‌ی راهکاری به‌منظور افزایش توانایی این اتصال در جذب انرژی برای تیرهای عمیق و کاهش اثر Pinch در نمودار هیستریزس این اتصال می‌باشد. به‌منظور مدل‌سازی عددی این اتصال از نرم‌افزار اجزای محدود ABAQUS استفاده گردیده است. برای مدل‌سازی عددی و صحت‌سنجی آن با نتایج آزمایشگاهی، دو مدل مرجع ایجاد گردید. هر دو مدل با نتایج آزمایشگاهی مقایسه شدند. هریک از مدل‌های مرجع متعلق به یک گروه با ده نمونه می‌باشند. کل این مجموعه که جمعاً شامل ۲۰ مدل می‌باشد، فرآیند بررسی را تشکیل داده است.

### مدل‌سازی عددی و صحت‌سنجی

به‌منظور مدل‌سازی عددی و صحت‌سنجی دو مدل مرجع، یک مدل مربوط به اتصال KBB سری W و یک مدل مربوط به اتصال KBB سری B انتخاب گردید. هر دو مدل با نتایج آزمایشگاهی که توسط Scott M. Adan and William Gibb [1,3] انجام گرفته بود مقایسه گردید. نرم‌افزار اجزای محدود ABAQUS در مدل‌سازی‌های عددی به‌کار برده شد. در مدل‌های عددی سری W برای مش‌بندی اجزاء محدود تیر و نوار برشگیر جان از المان Shell چهار

### مقدمه

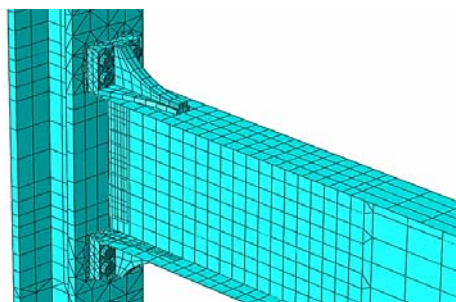
پس از زلزله‌ی ۱۹۹۴ نورث‌ریج کالیفرنیا که سبب آسیب دیدن تعداد قابل‌ملاحظه‌ای از ساختمان‌های فولادی با اتصالات خمشی گردید، توجه بیشتری به قابلیت اعتماد در فرآیند طراحی سازه‌های فولادی گردید [1]. آسیب‌های گسترده در اتصالات خمشی عموماً در اتصالات خمشی قوی که ظرفیت دوران پلاستیک آن‌ها کمتر از ظرفیت دوران پلاستیک اعضای قاب بود، مشاهده گردید. گسیختگی‌ها غالباً شامل شکستگی‌های غیر شکل‌پذیر جوش شیری با نفوذ کامل (CJP) بال تیر به بال ستون و ترک‌هایی در بال تیر و مقطع میانی ستون بوده است [1]. بعد از زلزله تحقیقات هدفدار زیادی در خصوص رفتار اتصالات خمشی با گیرداری کامل صورت پذیرفت. حذف جوش گوشه کارگاهی می‌توانست علاوه بر بهبود عملکرد اتصالات سبب کاهش هزینه‌های وابسته به نظارت و اجرا گردد [1]. اتصال براکت پیچ‌شده اولین بار در دانشگاه «Lehigh» مطرح گردید. این طرح از ایده‌ی نشیمن تقویت‌شده الهام گرفته بود و بعداً به‌منظور افزایش کیفیت و عملکرد اتصال، جوش کاری از براکت حذف گردید و آن‌را به‌صورت فولاد ریخته‌گری شده با مقاومت بالا تولید نمودند [1]. در آیین‌نامه‌ی AISC این اتصال به‌عنوان اتصالی مناسب برای قاب خمشی ویژه تحت عنوان «اتصال خمشی براکت پیچ‌شده‌ی کایزر» معرفی گردیده است [2]. این اتصال به‌منظور حذف جوش گوشه کارگاهی و افزایش کیفیت ساخت و سهولت در اجرا توسعه یافت [2]. این اتصال به دو رده کلی سری W و سری B تقسیم می‌شود [2]. هر دو سری اتصال از طریق پیچ‌های پرمقاومت به بال ستون پیچ می‌گردند. اتصال براکت سری W به بال تیر، از طریق جوش کارخانه‌ای میسر می‌گردد [2]. هم‌چنین اتصال براکت سری B به بال تیر، از طریق پیچ‌های پرمقاومت صورت می‌گیرد [2]. شکل (۱) هر دو سری از اتصال خمشی کایزر را نشان می‌دهد.

گری S4R و برای سایر اعضا از المان Solid هشت گرهی، C3D8R استفاده گردید [4]. در مدل سری B برای مش بندی اجزای محدود تمامی اعضا از المان Solid هشت گرهی C3D8R استفاده شد [4]. شکل (۲) نحوه ی مش بندی و مدل سازی عددی اتصالات مذکور را نشان می دهد.

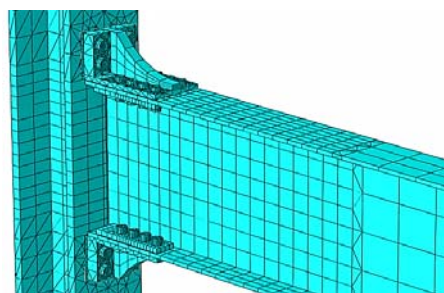
سری B و برای اتصال براکت به بال تیر به وسیله ی پیچ در تمامی محل هایی که براکت با بال تیر و ورق واشر در تماس بوده است از گزینه ی اندرکنشی Contact استفاده شده است. در هر دو نمونه برای اتصال براکت به ستون از طریق پیچ، از گزینه ی اندرکنشی Contact استفاده گردیده است. در گزینه ی اندرکنشی Contact اجازه ی جدا شدن سطوح بعد از برخورد داده شده است [4] و ضریب اصطکاک کولمب برای در نظر گرفتن اثر اصطکاک بین سطوح فلزی کلاس A، 0.3 در نظر گرفته شده است [5] و به منظور تطابق کامل مدل عددی با مدل آزمایشگاهی ورق های واشر انگشتی در محل اتصال براکت با بال ستون نیز مدل گردیده اند. برای در نظر گرفتن اثر پیش تنیدگی پیچ ها دو گام تعریف شده است؛ در گام اول پیچ ها پیش تنیده گردیده و در گام دوم علاوه بر حفظ پیش تنیدگی، تغییر مکان چرخه ای مطابق ضوابط آیین نامه ی ATC-24 و آیین نامه ی FEMA-355D به نمونه ها اثر داده شده است [6,7]. مصالح به کار رفته برای مدل سازی مطابق جدول (۱) و براساس مشخصات آزمایشگاهی نمونه ها می باشد.

همان طور که در شکل های (۴، ۳) مشاهده می گردد، تطابق خوبی بین نمودارهای هیستریزس انتهای تیر نمونه های عددی با مدل آزمایشگاهی در هر دو نمونه وجود دارد و هم چنین در شکل (۵) تغییر شکل نمونه ی عددی در محل تشکیل مفصل پلاستیک کاملاً منطبق بر تغییر شکل واقعی آن در مدل آزمایشگاهی می باشد.

گره ی S4R و برای سایر اعضا از المان Solid هشت گرهی، C3D8R استفاده گردید [4]. در مدل سری B برای مش بندی اجزای محدود تمامی اعضا از المان Solid هشت گرهی C3D8R استفاده شد [4]. شکل (۲) نحوه ی مش بندی و مدل سازی عددی اتصالات مذکور را نشان می دهد.



الف) مدل اجزای محدود اتصال کایزر سری W



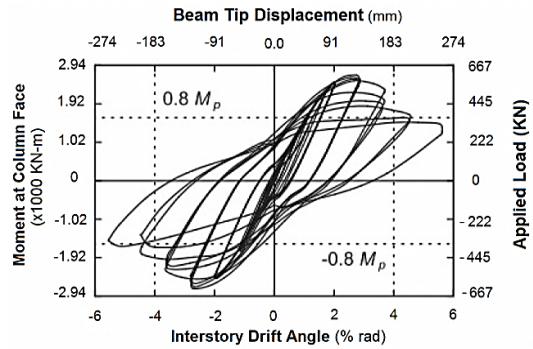
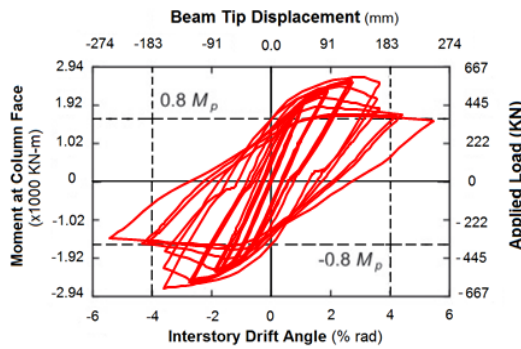
ب) مدل اجزای محدود اتصال کایزر سری B

شکل ۲ مدل های اجزای محدود ساخته شده برای صحت سنجی با نتایج آزمایشگاهی

برای در نظر گرفتن اثر جوش براکت سری W به بال تیر از قید Tie استفاده شد [4]. هم چنین در مدل

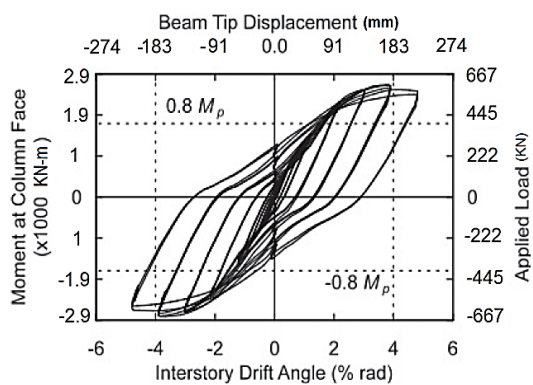
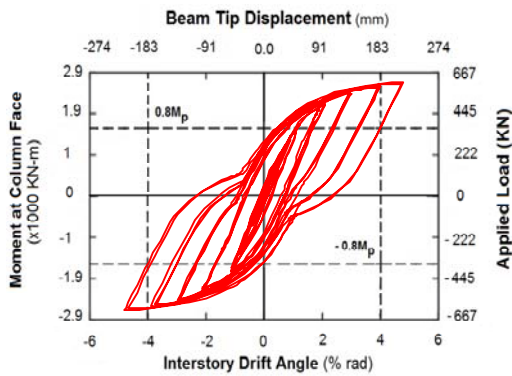
جدول ۱ مشخصات مصالح به کار رفته در مدل های اجزای محدود، برگرفته از نتایج آزمایشگاهی

نوع مصالح	کاربرد	تنش تسلیم (MPa)	تنش نهایی (MPa)	کرنش نهایی
ASTM A36	واشر انگشتی گوه ای	250	450	0.20
ASTM A572 Gr50	تیر، نوار برشگیر جان تیر	366	462	0.25
ASTM A572 Gr50	ستون	321	453	0.25
ASTM A148 Gr80/50	براکت	510	710	0.22
A490	پیچ	900	1050	0.20



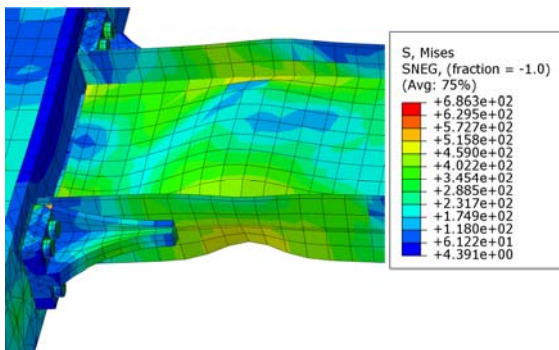
(الف) منحنی هیستریزس انتهای تیر، مدل آزمایشگاهی، نمونه HH-8 [1,2] (ب) منحنی هیستریزس انتهای تیر، مدل عددی، نمونه HH-8

شکل ۳ منحنی‌های هیستریزس انتهای تیر مدل‌های آزمایشگاهی و عددی برای اتصال سری W



(الف) منحنی هیستریزس انتهای تیر، مدل آزمایشگاهی، نمونه HH-6 [1] (ب) منحنی هیستریزس انتهای تیر، مدل عددی، نمونه HH-6

شکل ۴ منحنی‌های هیستریزس انتهای تیر مدل‌های آزمایشگاهی و عددی برای اتصال سری B



(ب) تغییر شکل نمونه عددی HH-8 در انتهای بارگذاری

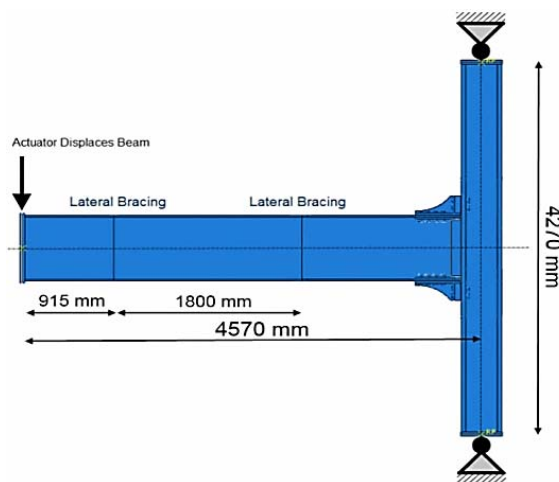
(الف) تغییر شکل نمونه آزمایشگاهی HH-8 در انتهای بارگذاری [1,2]

شکل ۵ تغییر شکل نمونه‌های آزمایشگاهی و عددی در گام آخر بارگذاری

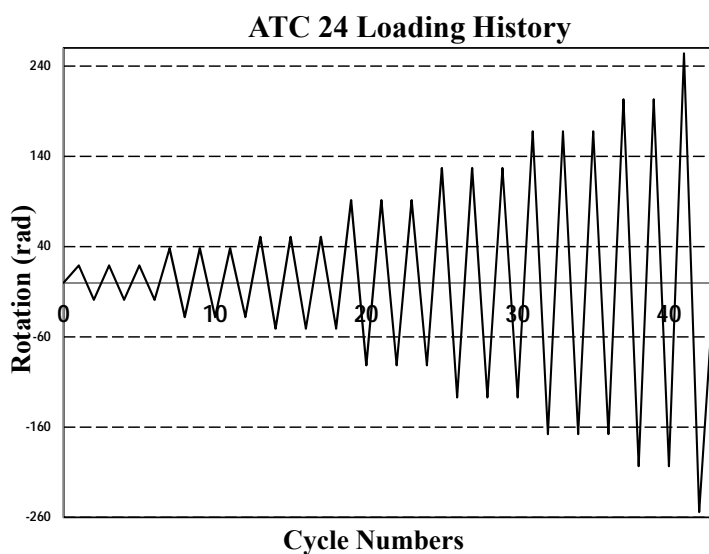
لرزه‌ای اتصال در منطقه‌ی نزدیک گسل از بارگذاری نزدیک گسل FEMA-355D استفاده گردیده است [7]. شکل (۷) و شکل (۸) نمودار بارگذاری استاندارد آیین‌نامه‌ی ATC-24 و بارگذاری نزدیک گسل FEMA-355D را که به صورت تغییر مکان در انتهای تیر اعمال شده است نشان می‌دهد.

### شرایط مرزی و بارگذاری

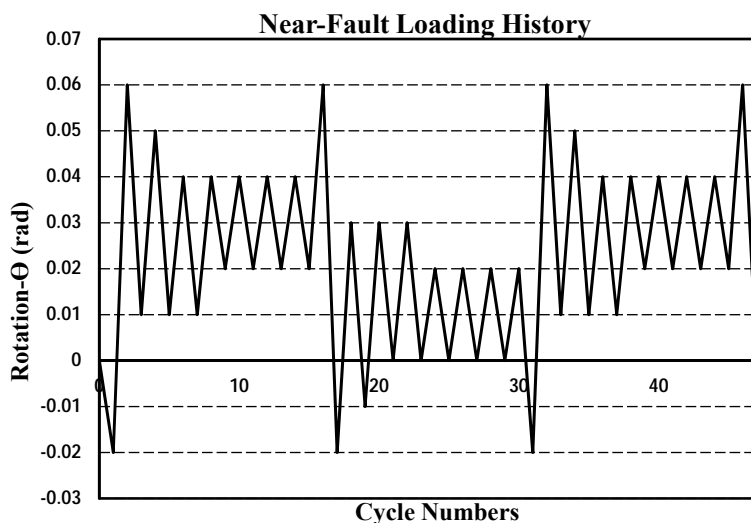
شرایط مرزی مجموعه‌ی آزمایش شامل شرایط تکیه‌گاهی دو انتهای ستون و محل قرارگیری مهارهای جانبی تیر در شکل (۶) نشان داده شده است. به منظور بررسی عملکرد لرزه‌ای اتصال از بارگذاری استاندارد چرخه‌ای آیین‌نامه‌ی ATC-24 استفاده شده است [6]. هم‌چنین برای بررسی عملکرد



شکل ۶ طول تیر و ستون و شرایط تکیه‌گاهی و موقعیت مهارهای جانبی در نظر گرفته شده برای مجموعه مورد بررسی



شکل ۷ بارگذاری چرخه‌ای استاندارد، مورد استفاده در مدل آزمایشگاهی و عددی



شکل ۸ بارگذاری چرخه‌ای نزدیک گسل، مورد استفاده در مدل عددی

جدول ۲ خلاصه‌ای از مشخصات نمونه‌های مرجع

نوع مدل	ستون	تیر	براکت	اندازه‌ی پیچ ستون	اندازه‌ی پیچ تیر	ضخامت واشر انگشتی (mm)
مدل مرجع ۱	W14x233	W30x108	W2.1	1-1/2" (~M36)	-	3.2-1.6
مدل مرجع ۲	W14x233	W30x108	B2.1	1-1/2" (~M36)	1-1/8" (~M30)	3.2-1.6

### بررسی نمونه‌های عددی

تیر کم می‌باشد. این نسبت با توجه به طول دهانه، عمق تیر و نوع اتصال متفاوت می‌باشد. در اثر انحنای ایجاد شده، تیرهای عمیق کرنش‌های بزرگ‌تری نسبت به تیرهای کوتاه تجربه می‌کنند. به‌طور مشابه، در تیرها با نسبت دهانه به عمق کم، شیب لنگر تندتری در سراسر دهانه‌ی تیر وجود دارد. نتیجه‌ی آن، کاهش طول تیر مشارکت نموده در مفصل پلاستیک، و افزایش کرنش‌ها تحت دوران‌های غیر الاستیک خواسته شده است [2]. لذا می‌توان در این مقاله نسبت دهانه به عمق کمتر از ۱۵ را تیر عمیق تعریف نمود. مشخصات هندسی براکت‌ها از آیین‌نامه‌ی AISC برداشت شده

مدل‌های مرجع، مدل‌هایی هستند که برای صحت‌سنجی از آن‌ها استفاده گردیده است. هر مدل مرجع خود شامل ده زیر مدل می‌باشد. در این زیر مدل‌ها برخی از خصوصیات نمونه‌ها مانند نیروی پیش‌تندگی پیچ‌های اتصال‌دهنده‌ی براکت به بال ستون و هم‌چنین ضریب اصطکاک بین براکت با ستون و تیر، تغییر نموده است. تیر مدل مرجع از نوع تیر I شکل می‌باشد [3]. عمق تیر و نسبت دهانه به عمق تیر، در رفتار اتصالات تیر به ستون مهم است. تیرهای عمیق به تیرهایی گفته می‌شود که در آن‌ها نسبت دهانه به عمق

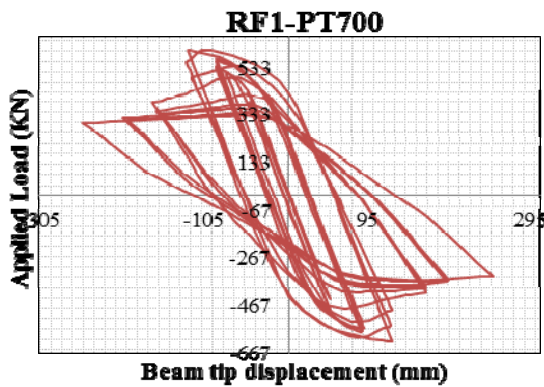
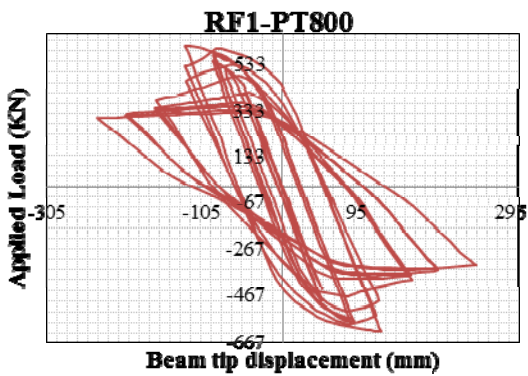
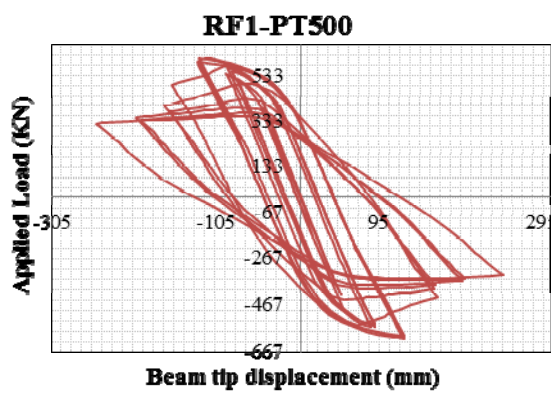
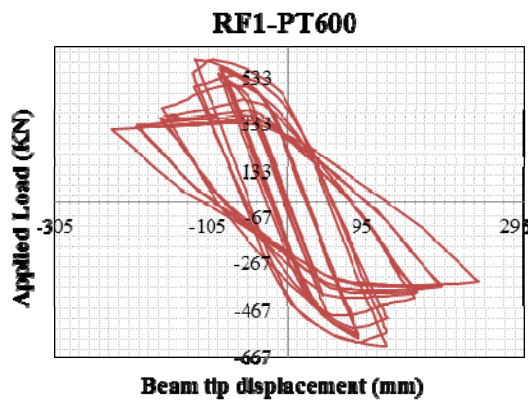
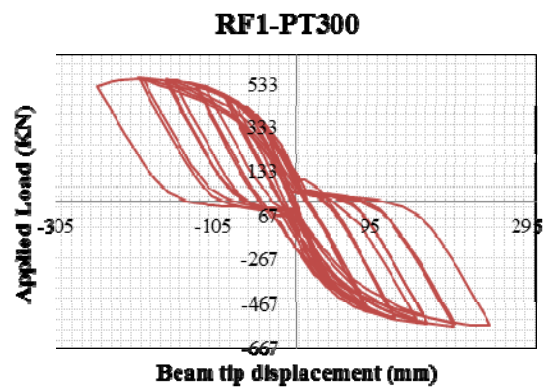
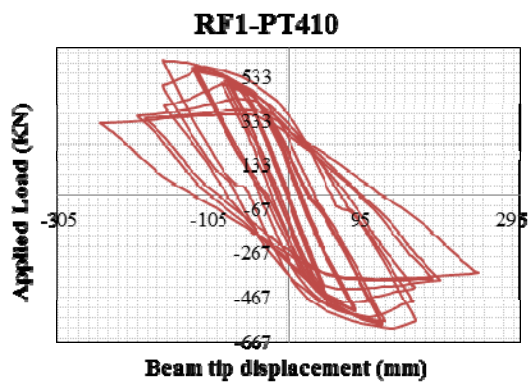
آیین‌نامه‌ی AISC را در خصوص نسبت تیر به ستون برآورده می‌نمایند [9]. هم‌چنین ستون ضوابط آیین‌نامه را در خصوص عدم استفاده از ورق‌های پیوستگی تأمین می‌کند [3]. مشخصات مدل‌ها، که در آن‌ها ضریب اصطکاک و نیروی پیش‌تندگی پیچ‌های اتصال دهنده‌ی براکت به ستون، نسبت به مدل‌های مرجع تغییر کرده است در جدول (۳) آورده شده‌است. با افزایش نیروی پیش‌تندگی از مقدار Pinch نمودارهای هیستریزس کاسته می‌شود، شکل (۹) این نمودارها را نشان می‌دهد.

است [3]. خصوصیات هندسی پیچ‌ها و ضوابط پیش‌تندگی آن‌ها بر اساس ضوابط RCSC می‌باشد [8]. سایر مشخصات نمونه‌های مرجع در جدول (۲) آمده است. از آن‌جایی که براکت‌های مناسب برای تیرهای عمیق می‌تواند W2.1 و B2.1 باشد، به‌منظور در نظر گرفتن بحرانی‌ترین وضعیت برای اتصال، این براکت‌ها با بزرگ‌ترین تیری که قابل استفاده است به کار برده شده‌اند. هم‌چنین ماکزیمم ستون بال پهن قابل استفاده طبق ضوابط آیین‌نامه‌ی AISC-358 [3] مقطع W14x233 می‌باشد. چشمه‌ی اتصال از نوع چشمه اتصال قوی است و تیر و ستون انتخاب‌شده، ضوابط

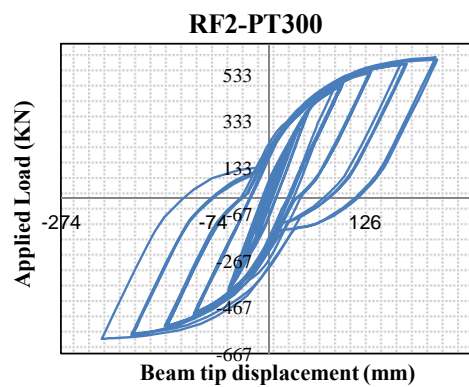
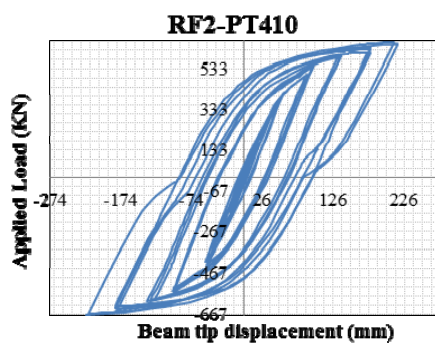
جدول ۳ مشخصات نمونه‌های عددی مورد بررسی و ماکزیمم انرژی کل جذب شده‌ی نمونه‌ها

گروه	نمونه‌ها	نیروی پیش‌تندگی پیچ‌های ستون (kN)	ضریب اصطکاک	ماکزیمم انرژی تجمعی جذب‌شده‌ی کل (kJ)
گروه مدل ۱	RF1-PT300	300	0.3	914
	RF1-PT410	410	0.3	1176
	RF1-PT500	500	0.3	1240
	RF1-PT600	600	0.3	1279
	RF1-PT700	700	0.3	1307
	RF1-PT800	800	0.3	1385
	RF1-N.Shims	500	0.3	1380
	RF1-U.Shims	500	0.3	1376
	RF1-Fric0.25	450	0.25	1185
	RF1-Fric0.40	450	0.40	1224
گروه مدل ۲	RF2-PT300	300	0.3	1202
	RF2-PT410	410	0.3	1620
	RF2-PT500	500	0.3	1711
	RF2-PT600	600	0.3	2002
	RF2-PT700	700	0.3	2065
	RF2-PT800	800	0.3	2088
	RF2-N.Shims	500	0.3	1841
	RF2-U.Shims	500	0.3	1839
	RF2-Fric0.30	450	0.3	1650
	RF2-Fric0.45	450	0.45	1641
RF1,2-N.Shims: مدل مرجع ۱،۲ بدون واشر انگشتی.				
RF1,2-U.Shims: مدل مرجع ۱،۲ دارای واشر انگشتی با ضخامت ثابت.				

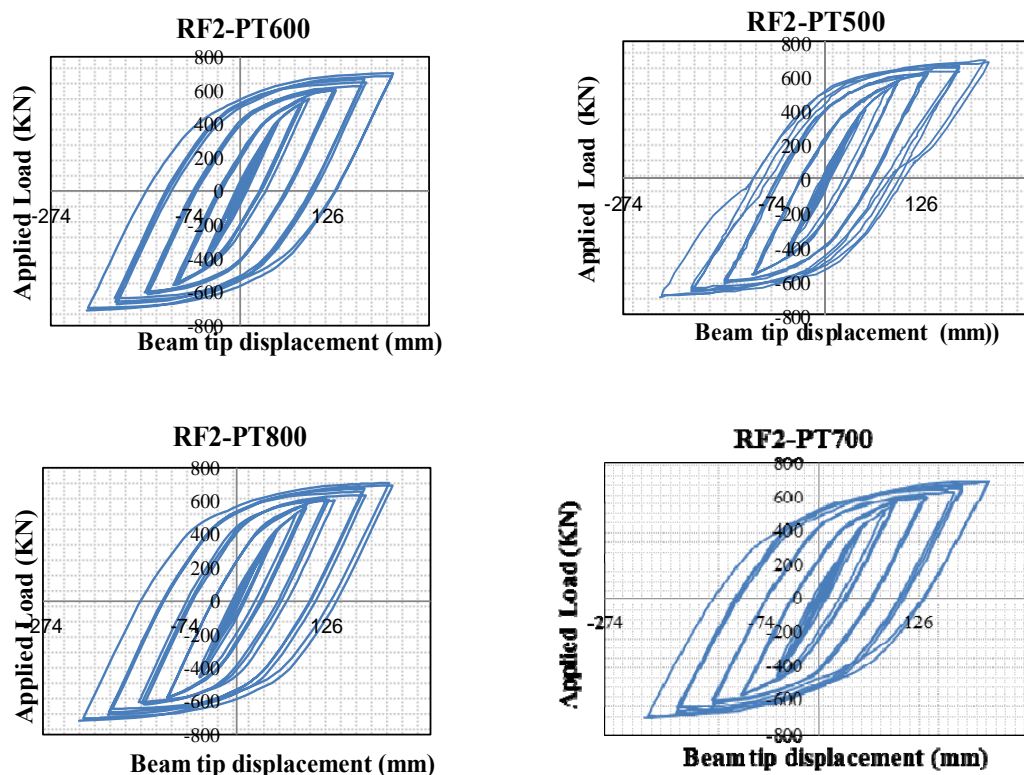




(الف) منحنی‌های هیستریزس نمونه‌های عددی، گروه مدل ۱







(ب) منحنی‌های هیستریزیس نمونه‌های عددی، گروه مدل ۲

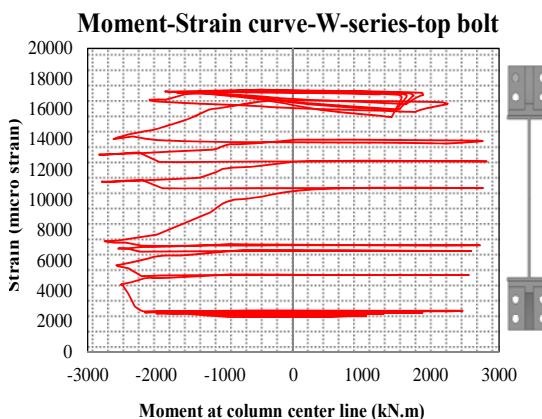
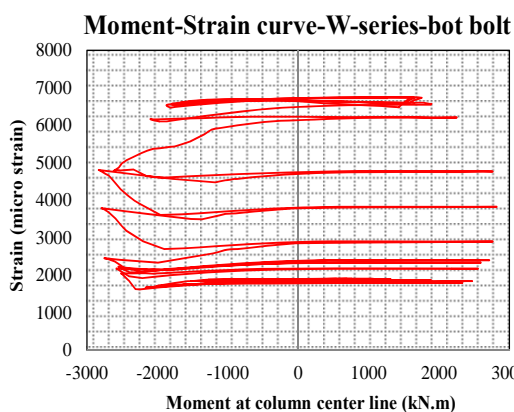
شکل ۹ منحنی‌های هیستریزیس انتهای تیر نمونه‌های عددی با نیروهای پیش‌تندگی متفاوت

می‌باشد. شاید یکی از دلایل آن اتلاف انرژی در اتصال سری B به دلیل وجود پیچ‌های بیشتر است. نمودار حساسیت اتصال، نسبت به نیروی پیش در شکل (۱۲) نشان داده شده است. با افزایش پیش‌تندگی انرژی تلف شده افزایش می‌یابد. اتلاف انرژی ناشی از اصطکاک در محدوده‌ی پیش‌تندگی مجاز آیین‌نامه حداکثر است. این موضوع می‌تواند یکی از مواردی باشد که جذب انرژی را در اتصال افزایش می‌دهد. این تفاوت به‌خوبی در نمودار شکل (۱۲) مشهود است. همان‌طور که نمودارهای هیستریزیس انتهای تیر نمونه‌ها در شکل (۱۳) مشخص است، این اتصال عملکرد لرزه‌ای مناسبی در حوزه‌ی نزدیک گسل دارد. میزان افت چرخه‌ی هیستریزیس اتصال با توجه به تغییر مکان قابل ملاحظه‌ای که اتصال تحمل می‌کند در محدوده‌ی قابل‌قبولی قرار دارد (کمتر از ۲۰٪). عملکرد لرزه‌ای

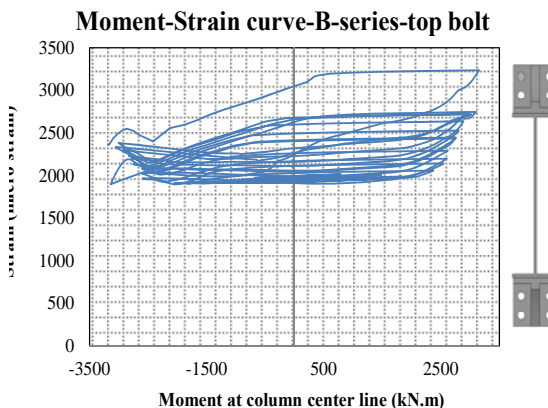
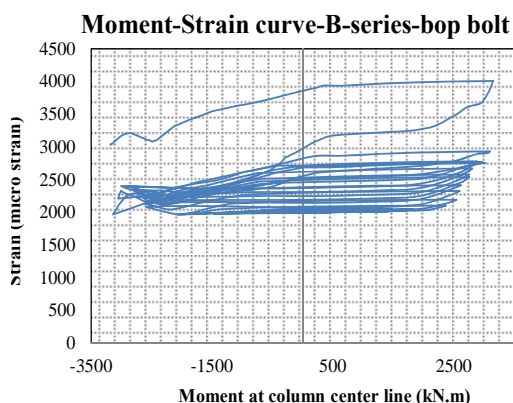
نیروی اهرمی ایجاد شده در پیچ‌های ردیف بالا سبب کاهش پیش‌تندگی پیچ‌های اتصال‌دهنده‌ی برکت به بال ستون می‌گردد که این موضوع اثر وقوع Pinch را تشدید می‌نماید (شکل (۱۰) را ببینید). شکل (۱۱) تفاوت جذب انرژی کل، در اتصال را برای مقادیر متفاوت پیش‌تندگی نشان می‌دهد. با افزایش نیروی پیش‌تندگی تا حداکثر مقدار الاستیک می‌توان افزایش جذب انرژی را افزایش داد. به‌گونه‌ای که با افزایش نیروی پیش‌تندگی افزایش اتلاف انرژی از ۹۲۰ تا ۱۳۰۶ kJ برای اتصال سری W، و از ۱۲۱۰ تا ۲۱۰۰ kJ برای اتصال سری B تغییر می‌کند. از نتایج به‌دست آمده می‌توان به‌راحتی دریافت که اتصال KBB سری B از توانایی بیشتری در جذب انرژی نسبت به اتصال سری W برخوردار است. این مقدار برای حداقل پیش‌تندگی مجاز آیین‌نامه در حدود ۳۸٪

شده در شکل (۱۴) قابل مشاهده است. میزان افت نیروی پیش‌تنیدگی ناشی از واشر انگشتی گوه‌ای با توجه به نیروی پیش‌تنیدگی از ۱۰٪ تا ۲۰٪ متفاوت است. همان‌طور که شکل (۱۵) نشان می‌دهد، عملکرد لرزه‌ای این اتصال تحت بارگذاری چرخه‌ای با افزایش نیروی پیش‌تنیدگی پیچ‌ها و هم‌چنین حذف و یا استفاده از واشر انگشتی غیرگوه‌ای بهبود می‌یابد.

نزدیک گسل این اتصال در اولین نیمه‌ی بارگذاری آن، که مشابه بارگذاری یکنواخت (monotonic) است [10,11]، مناسب می‌باشد و بر طبق معیار گسیختگی Vonmises در تیر و براکت‌ها گسیختگی اتفاق نمی‌افتد. در این اتصال استفاده از واشر انگشتی گوه‌ای نیروی پیش‌تنیدگی را کاهش می‌دهد. به‌گونه‌ای که با کاهش نیروی پیش‌تنیدگی اثر کاهش دهنده‌ی واشر گوه‌ای افزایش می‌یابد. نمونه‌ای از واشر گوه‌ای استفاده



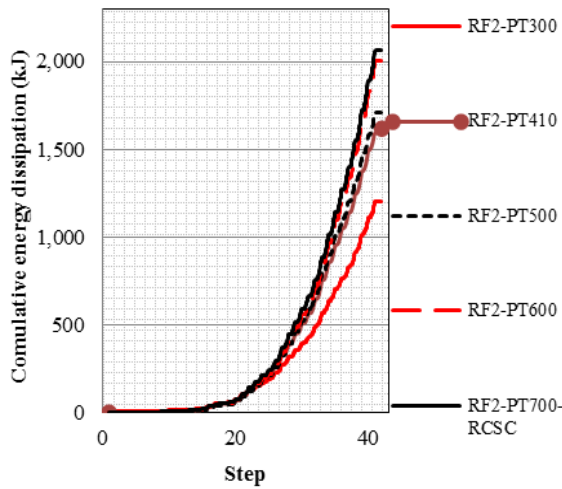
الف) منحنی‌های کرنش - لنگر، پیچ‌های اتصال مدل مرجع ۱



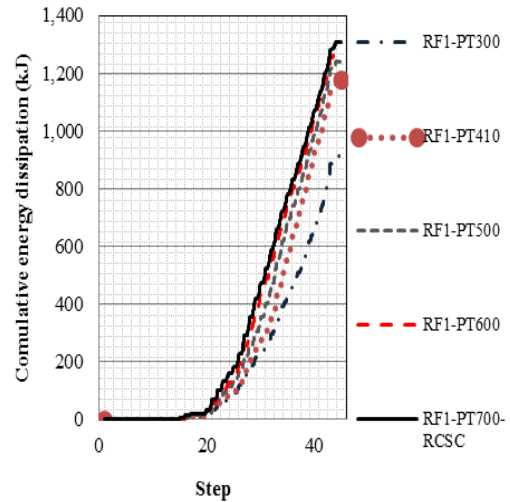
ب) منحنی‌های کرنش - لنگر، پیچ‌های اتصال، مدل مرجع ۲

شکل ۱۰ منحنی‌های کرنش - لنگر، پیچ‌های اتصالات مدل‌های مرجع ۱ و ۲

**Comulative energy dissipation**



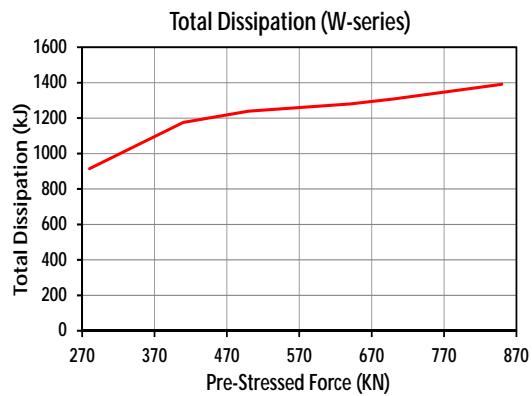
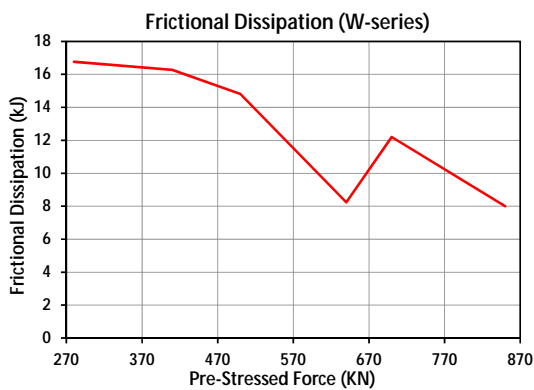
**Comulative energy dissipation**



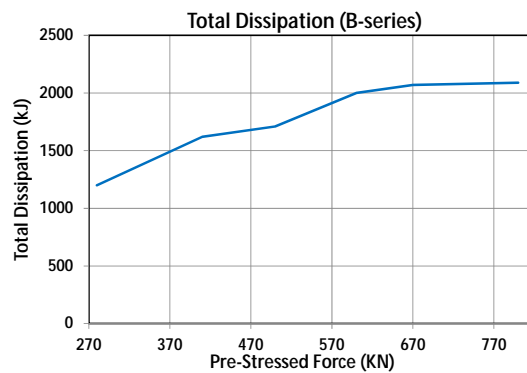
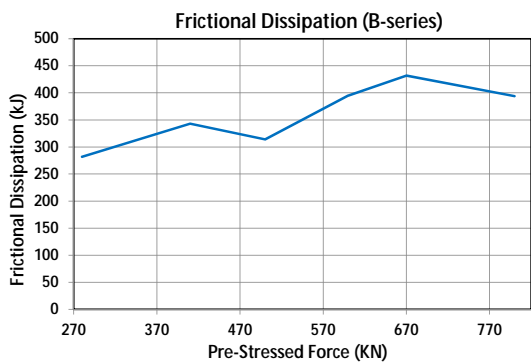
(ب) نمودارهای جذب انرژی مدل‌های گروه ۲

(الف) نمودارهای جذب انرژی مدل‌های گروه ۱

شکل ۱۱ نمودارهای جذب انرژی تجمعی کل برای مقادیر متفاوت پیش‌تندگی، نمونه‌های عددی

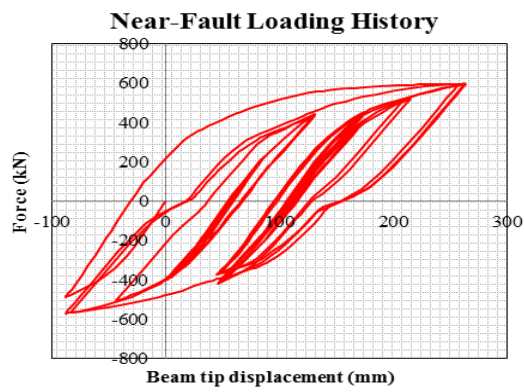


(الف) نمودار حساسیت اتصال نسبت به نیروی پیش‌تندگی برای اتصال سری W

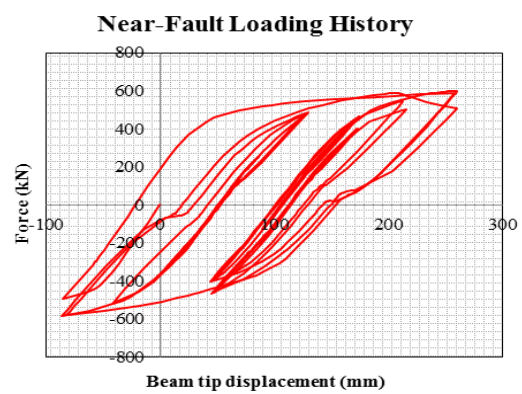


(ب) نمودار حساسیت اتصال نسبت به نیروی پیش‌تندگی برای اتصال سری B

شکل ۱۲ نمودار حساسیت به میزان نیروی پیش‌تندگی اتصال

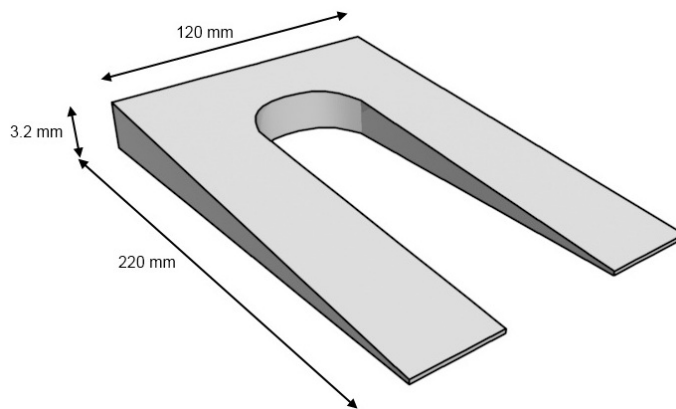


(ب) منحنی هیستریزس نزدیک گسل مدل مرجع ۲

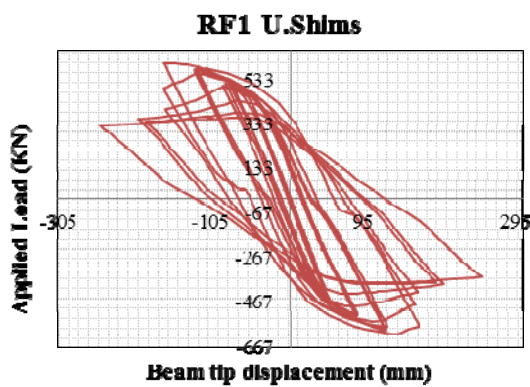


(الف) منحنی هیستریزس نزدیک گسل مدل مرجع ۱

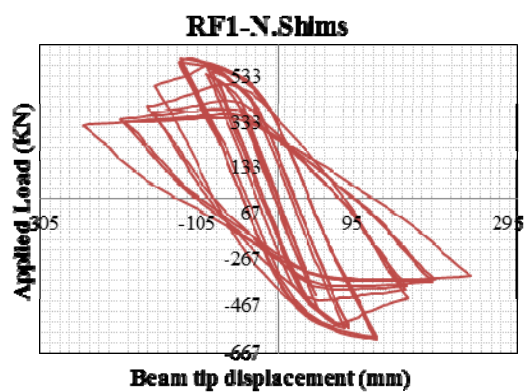
شکل ۱۳ منحنی های هیستریزس انتهای تیر مدل های مرجع، تحت بارگذاری نزدیک گسل



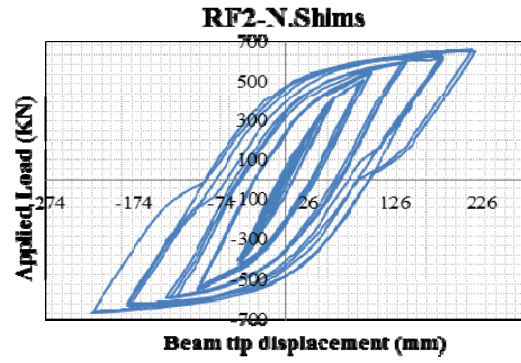
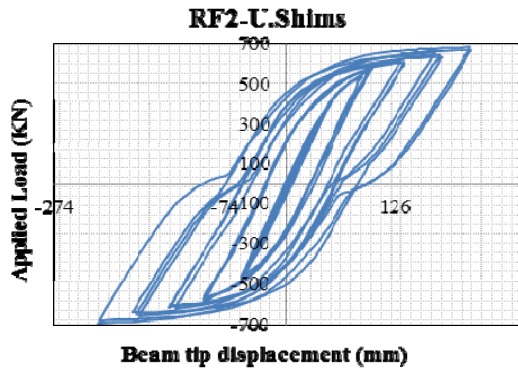
شکل ۱۴ نمونه ای از واشر انگشتی گوه ای



(ب) منحنی هیستریزس مدل مرجع ۱ دارای واشر انگشتی با ضخامت ثابت



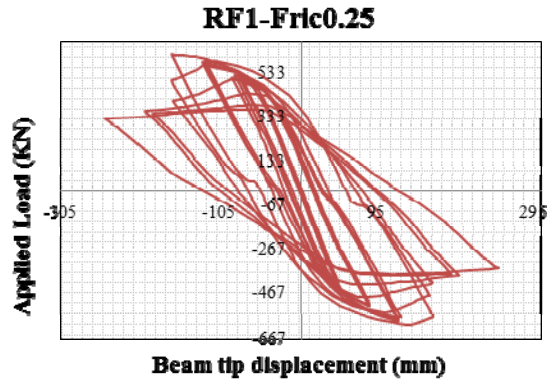
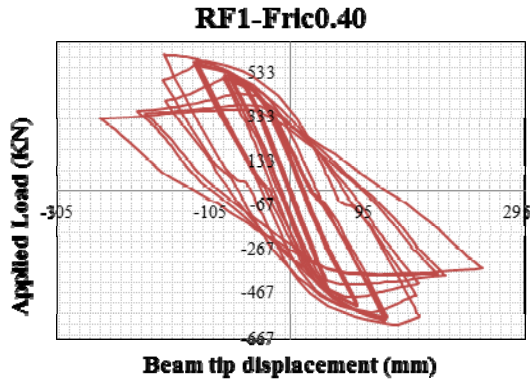
(الف) منحنی هیستریزس مدل مرجع ۱ بدون واشر انگشتی



(د) منحنی هیستریزیس مدل مرجع ۲ دارای واشر انگشتی با ضخامت ثابت

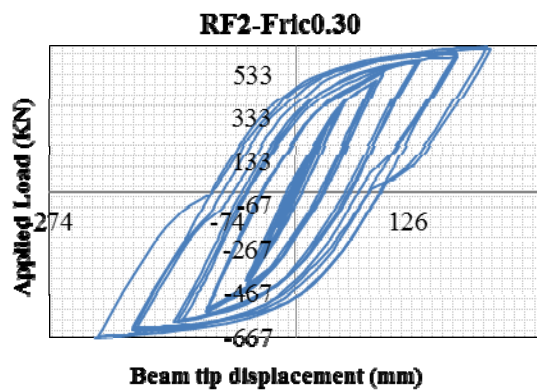
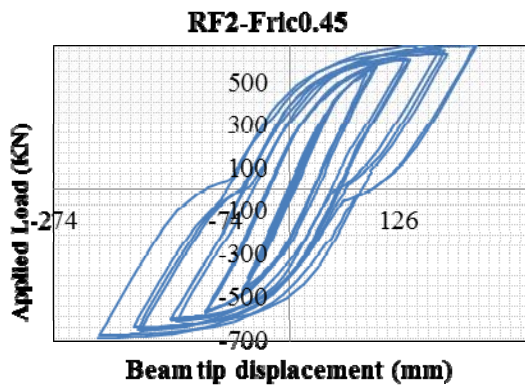
(ج) منحنی هیستریزیس مدل مرجع ۲ بدون واشر انگشتی

شکل ۱۵ اثر واشر انگشتی بر منحنی‌های هیستریزیس نمونه‌های عددی



(ب) مدل مرجع ۱ با ضریب اصطکاک ۰/۴۰

(الف) مدل مرجع ۱ با ضریب اصطکاک ۰/۲۵



(د) مدل مرجع ۲ با ضریب اصطکاک ۰/۴۵

(ج) مدل مرجع ۲ با ضریب اصطکاک ۰/۳۰

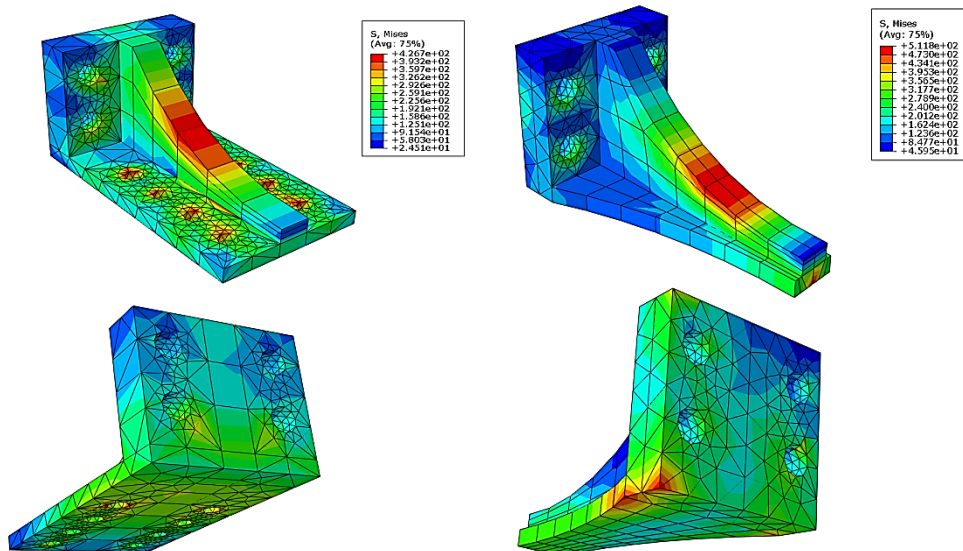
شکل ۱۷ اثر تغییر ضریب اصطکاک در منحنی هیستریزیس نمونه‌ها



در محل تماس با ستون قرار دارد و صفحه‌ی زیر سخت‌کننده دارای تنش کمی می‌باشند که نشان‌دهنده‌ی دست بالا بودن برخی از اجزای برکت می‌باشد. این تنش‌ها در تمام طول بارگذاری حدود ۸۰ الی ۱۵۰ مگاپاسکال تا تنش تسلیم فاصله دارند. در طول فرآیند آزمایش تیغه‌ی برکت وارد مرحله‌ی پلاستیک می‌گردد. این پلاستیسیتة شدن در عملکرد اتصال تأثیرگذار نمی‌باشد. در تمامی مدل‌های مورد بررسی تحت بارگذاری چرخه‌ای استاندارد و بارگذاری چرخه‌ای نزدیک گسل، هیچ یک از اجزای برکت دچار گسیختگی نگردیدند. از این رو این اتصال به‌علت تأمین گیرداری کافی و حذف جوشکاری در کارگاه اتصال مناسبی برای سازه‌های بلند می‌باشد. هم‌چنین این اتصال می‌تواند به‌عنوان یک اتصال مناسب برای قاب خمشی ویژه SMRF در منطقه‌ی نزدیک گسل به‌کار برده شود.

برای بررسی اثر اصطکاک در میزان جذب انرژی و تغییر میزان Pinch در نمودار هیستریزیس، ضریب اصطکاک در نمونه‌ی سری W از 0.25 تا 0.40 و برای اتصال سری B از 0.3 تا 0.45 تغییر داده شد. با افزایش ضریب اصطکاک جذب انرژی کل اتصال سری W تقریباً ثابت مانده ولی جذب انرژی کل اتصال سری B اندکی افزایش داشته است (چیزی در حدود ۱۲٪). این موضوع می‌تواند به‌دلیل افزایش تغییر شکل پلاستیک تیر، در محل مفصل به‌علت کاهش لغزش برکت‌ها در بال تیر باشد. شکل (۱۶)، تفاوت در جذب انرژی را برای هر دو سری اتصال نشان می‌دهد. همان‌گونه که شکل (۱۷) نشان می‌دهد، افزایش ضریب اصطکاک تأثیر چندانی در میزان Pinch نمودارهای هیستریزیس نمونه‌ها نداشته است.

در این اتصال بیشترین مقدار تنش در محل تیغه‌ی برکت و پاشنه‌ی آن ایجاد می‌گردد (شکل ۱۸). در تمامی بررسی‌های صورت گرفته ورق پشتی برکت که



(ب) کانتور تنش ون میسز در مدل مرجع ۲

(الف) کانتور تنش ون میسز در مدل مرجع ۱

شکل ۱۸ توزیع تنش ون میسز در مدل‌های مرجع



### نتیجه گیری

در این تحقیق پس از مدل سازی عددی و سپس مقایسه ی آن با نتایج آزمایشگاهی، به بررسی رفتار لرزه ای اتصال خمشی KBB تحت بارگذاری چرخه ای استاندارد و نزدیک گسل پرداخته شد. و برخی از عوامل دخیل در وقوع Pinch در نمودار هیستریزس و جذب انرژی این نوع اتصال مورد بررسی قرار گرفت، که نتایج زیر را در پی داشت.

۱- عملکرد لرزه ای این اتصال در منطقه نزدیک گسل، قابل قبول می باشد. از این رو اتصال خمشی کایزر اتصال مناسبی برای استفاده در سیستم قاب خمشی ویژه (SMRF) در مناطق نزدیک گسل می باشد.

۲- برای تیرهای عمیق به علت زیاد بودن ارتفاع و صلیب بالای براکت ها، نیروی اهرمی به وجود آمده زیاد است که این موضوع سبب کاهش نیروی پیش تنیدگی پیچ های ردیف بالای براکت در محل اتصال به ستون می گردد.

۳- استفاده از واشر انگشتی گوه ای ( Tapered Wedge Shims) وقوع اثر Pinch را تشدید می کند و سبب کاهش ۲۰٪-۱۰٪ نیروی پیش تنیدگی پیچ های اتصال دهنده ی براکت به بال

ستون می گردد.

۴- جذب انرژی اتصال KBB سری B بیش از اتصال سری W است. هم چنین با افزایش نیروی پیش تنیدگی پیچ ها تا حداکثر مقدار الاستیک آن، علاوه بر افزایش قابلیت جذب انرژی در اتصال، اثر Pinch در نمودار هیستریزس این نوع اتصال کاهش می یابد.

۵- با افزایش ضریب اصطکاک بین سطوح براکت با بال تیر و بال ستون، در اتصال KBB سری W جذب انرژی کل تغییر چندانی نمی کند. در حالی که با افزایش ضریب اصطکاک جذب انرژی کل اتصال KBB سری B در حدود ۱۲٪ افزایش می یابد. هم چنین افزایش ضریب اصطکاک تأثیر چندانی در میزان Pinch نمودار هیستریزس نمونه ها نداشته است.

۶- طراحی براکت های اتصال KBB اندکی محافظه کارانه است زیرا تنش ایجاد شده در قسمت های بالایی صفحه ی انتهایی و صفحه ی زیر سخت کننده در تمامی مدت بارگذاری فاصله ی زیادی با تنش تسلیم دارد (در حدود ۸۰ الی ۱۵۰ مگاپاسکال).

### مراجع

1. Scott M. Adan, William Gibb, "Experimental Evaluation of Kaiser Bolted Bracket Steel Moment-Resisting Connections", *Engineering Journal*, third quarter, pp. 181-196, (2009).
2. ANSI/AISC 358-10S11, "Prequalified Connections for Special and Intermediate Steel Moment Frames for Seismic Applications", *ANSI/AISC*, Chicago, (2011).
3. Scott M. Adan, William Gibb. "Test Report 98-05-Specimen HH-8", *ICF Kaiser Engineers*, January 20, (1998).
4. ABAQUS version 6.10.1, "Manual of ABAQUS version 6.10.1", *Hibbit Carlson & Sorensen Inc*, (2010).
5. AISC, "Manual of steel construction-Load and resistance factor design", *American Institute of Steel Construction*, Chicago (IL), (1995).

6. ATC-24, "Guidelines for cyclic seismic testing of components of steel structures", *Applied technology council*, (1992).
7. FEMA-355D, "State of the art report on connection performance", *Federal Emergency Management Agency*, September, (2000).
8. RCSC, "Specification for Structural Joints Using High-Strength Bolts", *Research Council on Structural Connections*, December, (2009).
9. ANSI/AISC 360-05, "Specification for Structural Steel Buildings", *American Institute of Steel Construction*, Chicago, March, (2005).
10. SAC/BD-97/02 Version 1.1, "Protocol for Fabrication, Inspection, Testing, and Documentation of Beam-Column Connection Tests and Other Experimental Specimens", *SAC report*, (2002).
11. H. Krawinkler, A. Gupta, R. Medina, N. Luco, "Development of Loading Histories for Testing of Steel Beam-to-Column Assemblies", *SAC report*, August, (2000).